

# VIGILANCIA SINÓPTICA DE SUDAMÉRICA

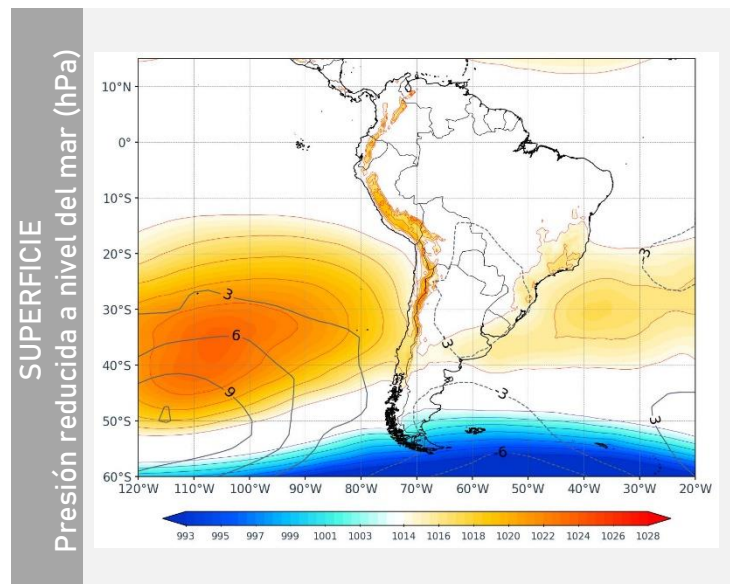
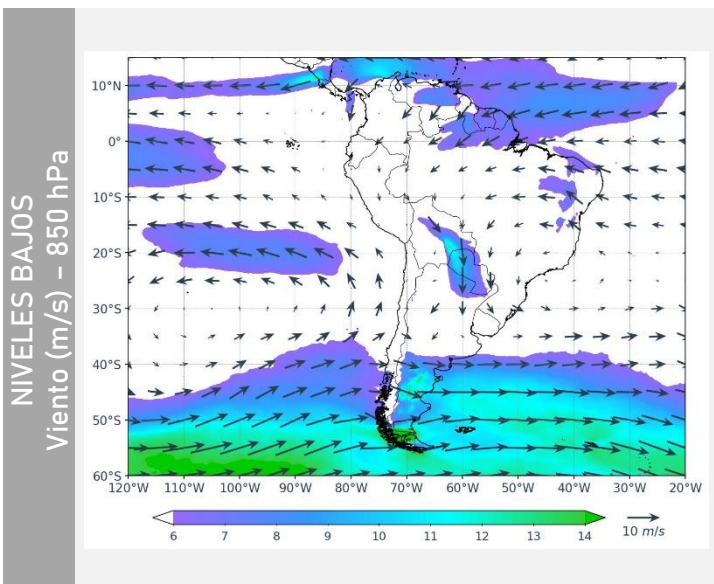
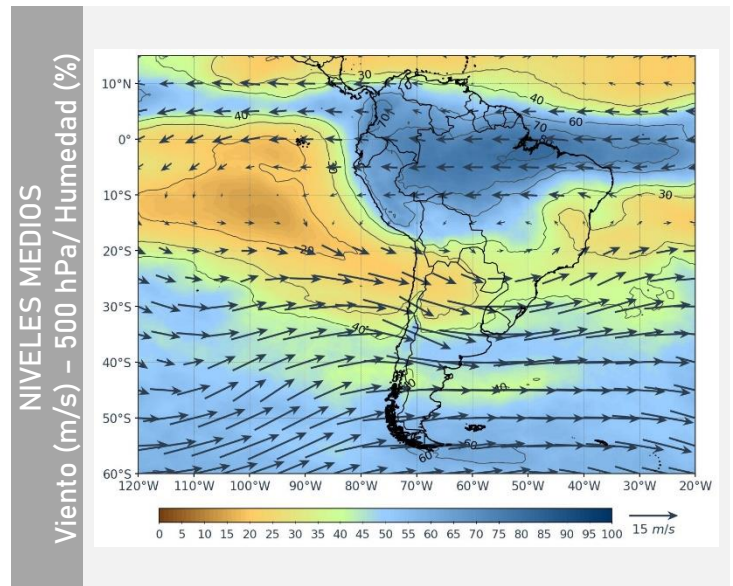
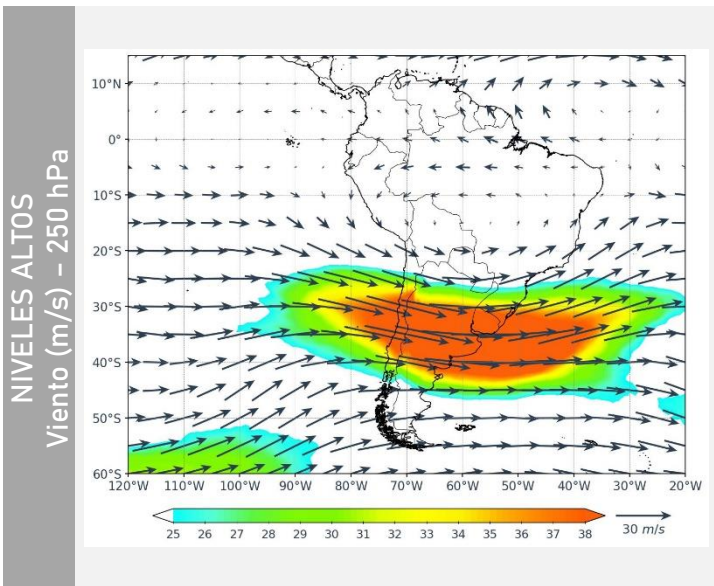


**INFORME**  
**ABRIL 2024**



**PRÓXIMO INFORME A  
ACTUALIZAR**  
**MAYO 2024**

# ANÁLISIS MENSUAL



Para el mes de abril, en niveles altos, predominó una configuración anticiclónica influyendo sobre Bolivia, Perú y Brasil con núcleo ubicado alrededor de los 15°S y 60°W, asimismo, a partir de los 10°S hacia latitudes mayores dominaron vientos del oeste asociados a una onda ligeramente pronunciada; estos sistemas atmosféricos asociados generaron condiciones de inestabilidad principalmente sobre Perú, Ecuador, Brasil y Bolivia. También, la presencia del Jet Subtropical (JS) se mantuvo acoplado con el ramal norte del Jet Polar (JP) entre los 85°W y 95°W con una velocidad promedio máxima a los 38 m/s.

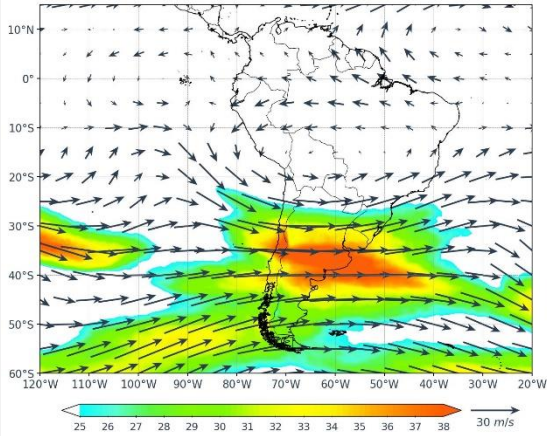
En niveles medios, predominaron flujos del oeste con componente zonal predominante, desde los 25°S hacia latitudes mayores asociado a una onda poco configurada. También, dominó un flujo anticiclónico sobre Bolivia y Brasil con núcleo en los 18°S y 55°W. Estos sistemas favorecieron el ingreso de flujos del este con humedad (entre el 60-80%) hacia el territorio peruano y países como Colombia, Ecuador, Bolivia y gran parte de Brasil; por otro lado, sobre el centro del continente prevaleció el ingreso de aire seco con valores entre el 30-40% de humedad, principalmente al norte de Chile, norte de Argentina, Paraguay, Uruguay y sur de Brasil.

En niveles bajos, a 850 hPa, predominaron flujos del este y noreste sobre el noreste de Sudamérica aportando humedad proveniente del Atlántico sobre países del noroeste y centro de Sudamérica; también, se configuró el Jet de Bajos Niveles (JBN) sobre Bolivia y Paraguay alcanzando velocidades próximas a 12 m/s. En superficie, el Anticiclón del Pacífico Sur (APS) predominó definido con núcleo sobre los 37°S y 105°W y desplazado hacia el suroeste respecto a su posición climática con valores sobre los 1023 hPa, climáticamente elevado; asimismo, el Anticiclón del Atlántico Sur (AAS), se mantuvo con su intensidad y posición climática; por otro lado, no se muestran valores resaltantes de anomalías.

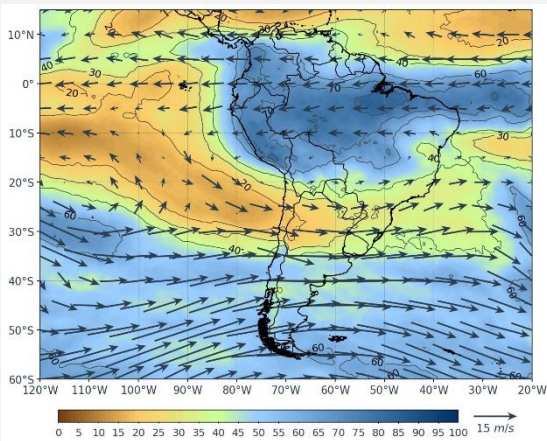
# ANÁLISIS DECADIARIO

## Primera decadiaria

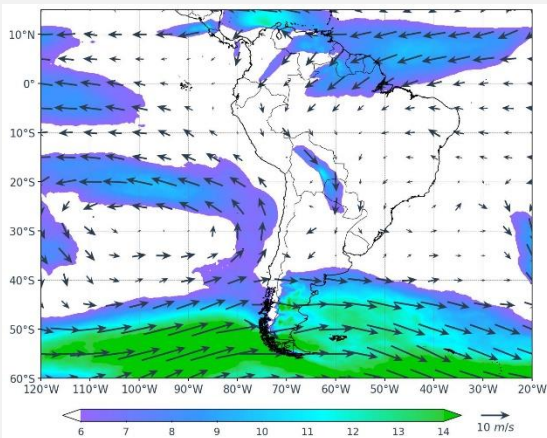
NIVELES ALTOS  
Viento (m/s) - 250 hPa



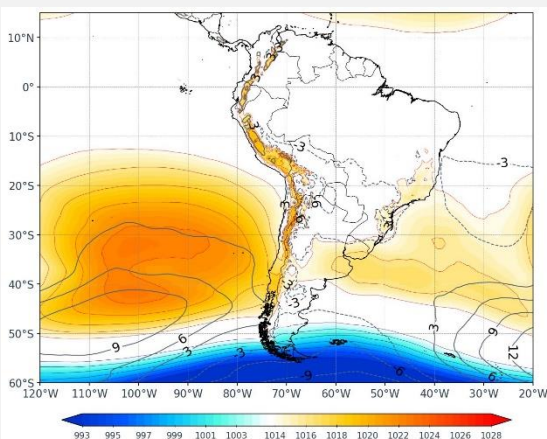
NIVELES MEDIOS  
Viento (m/s) - 500 hPa/ Humedad (%)



NIVELES BAJOS  
Viento (m/s) - 850 hPa



SUPERFICIE  
Presión reducida a nivel del mar



En niveles altos, se presentó un flujo anticiclónico sobre el sureste de Perú, Bolivia y suroeste de Brasil con centro sobre los 18°S y 60°W, aportando inestabilidad sobre el sector. Más al sur, asociada a este sistema predominó la presencia de una onda, la cual presentó dos vaguadas, una de configuración profunda sobre el océano Pacífico con eje de NO-SE que alcanzó los 10°S y otra al este de Brasil. El JS se mantuvo acoplado con el ramal norte del JP con velocidades promedio máximas superiores a los 38 m/s, asimismo, se presentaron rezagos del ramal sur del JP hasta los 50°S.

En niveles medios, al norte de Sudamérica prevalecieron flujos del este transportando humedad (entre 60-80% de humedad) hacia Perú, Ecuador, Colombia y en gran parte de Brasil, y aire seco (entre 30-40% de humedad) para Venezuela y resto de países del extremo norte de Sudamérica. Predominó la configuración de un patrón de circulación antihoraria ligeramente configurada sobre el océano Pacífico, también, prevaleció una onda débil asociada a una vaguada poco profunda (al sureste de Brasil sobre el océano Atlántico), estos flujos favorecieron al ingreso de aire ligeramente seco (entre el 20-40% de humedad) hacia el centro de Sudamérica, especialmente al norte de Chile y Argentina.

En superficie, el APS presentó una configuración cuasi meridional ligeramente desplazado hacia el suroeste respecto a lo climatológico con doble núcleo ubicados en los 32°S - 42°S y 102°W con valores de presión alrededor de los 1022 hPa, más intenso comparado con lo climático. Asimismo, el AAS se mantuvo desplazado hacia el este encontrándose fuera del área de observación. En niveles bajos, predominaron flujos del este sobre el noreste de Sudamérica aportando humedad sobre países del norte de Sudamérica, también, se presentó el JBN sobre Bolivia y Paraguay, transportando humedad y condiciones de inestabilidad hacia esos sectores.

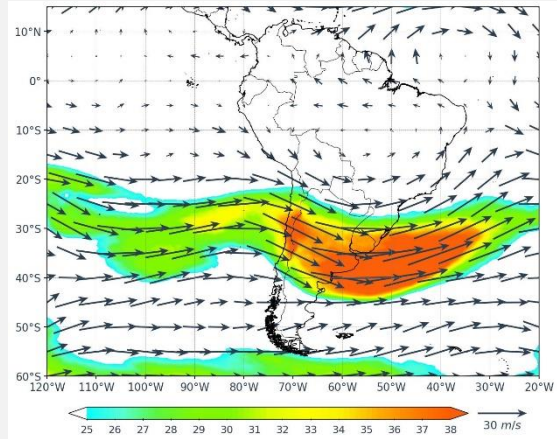
# ANÁLISIS DECADIARIO

## Segunda decadiaria

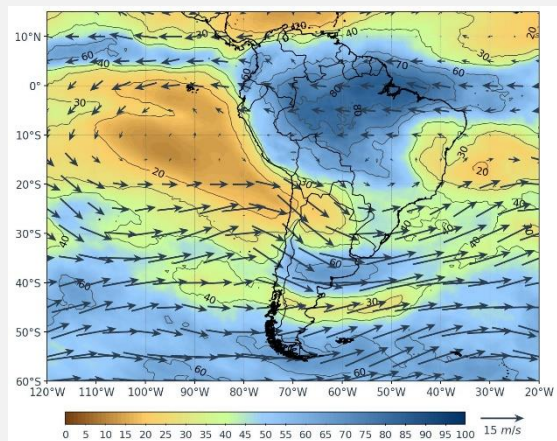
En niveles altos, se presentó un flujo anticiclónico débil sobre el centro de Brasil con núcleo sobre los 12°S y 53°W, aportando inestabilidad sobre el sector. Asimismo, asociada a este sistema prevaleció una onda larga con dos vaguadas presentes una sobre el océano Pacífico (cerca a continente) con eje N-S entre los 20°S y 40°S, y la otra sobre el océano atlántico. También, el JS se presentó acoplado al ramal norte del JP entre los 25°S y 40°S con velocidades promedio máximas superiores a 38 m/s entre los 73°W y 35°W.

En niveles medios, prevalecieron flujos del este entre los 5°S y 10°N transportando humedad (entre 60-80% humedad) hacia Perú, Bolivia y en gran parte de Brasil. También, predominó la presencia de una onda con dos vaguadas una profunda sobre el océano Pacífico (cerca a continente) de eje N-S entre los 20°S y 35°S, y la otra al sobre el océano Atlántico. Asimismo, hacia el oeste del Perú prevaleció un flujo anticiclónico, favoreciendo el ingreso de aire seco (entre el 20-40% de humedad) sobre Chile, Argentina y Paraguay.

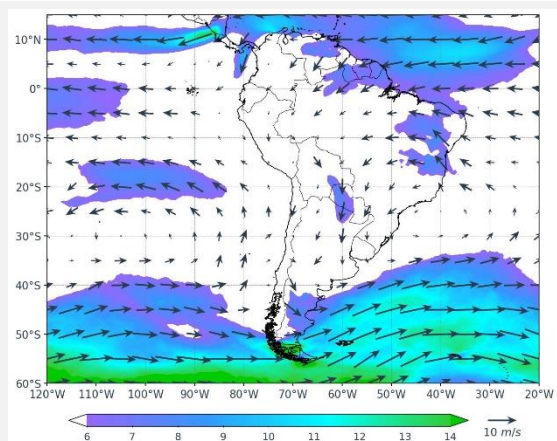
En superficie, el APS presentó una configuración zonal desplazado ligeramente hacia el suroeste con una intensidad de 1022 hPa respecto a lo climático con un núcleo sobre los 33°S y 100°W. Asimismo, valores de presión (1018 hPa) sobre el sur de Argentina y el océano Atlántico muestran el paso una Alta Migratoria (AM) la cual fortaleció la presencia del AAS. En niveles bajos, predominaron flujos del este y noreste sobre el noreste de Sudamérica aportando humedad sobre la región norte y centro del continente, por otro lado, se presentaron flujos de viento del norte de considerable intensidad sobre Bolivia, Paraguay y norte de Argentina.



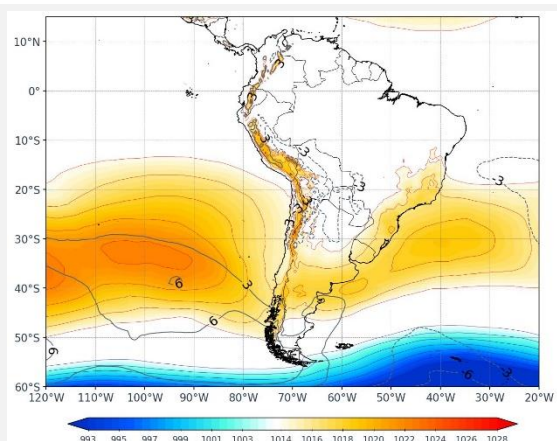
NIVELES ALTOS  
Viento (m/s) – 250 hPa



NIVELES MEDIOS  
Viento (m/s) / Humedad (%) – 500 hPa



NIVELES BAJOS  
Viento (m/s) – 850 hPa

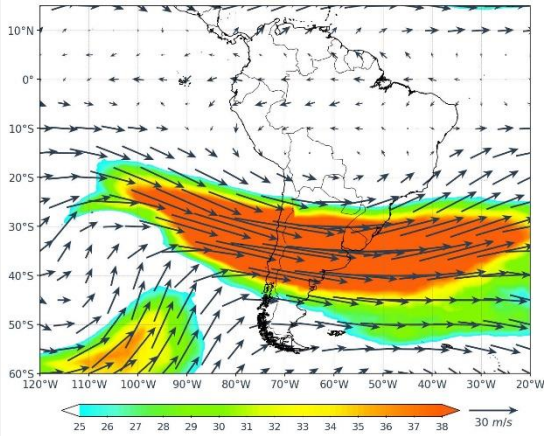


SUPERFICIE  
Presión reducida a nivel del mar

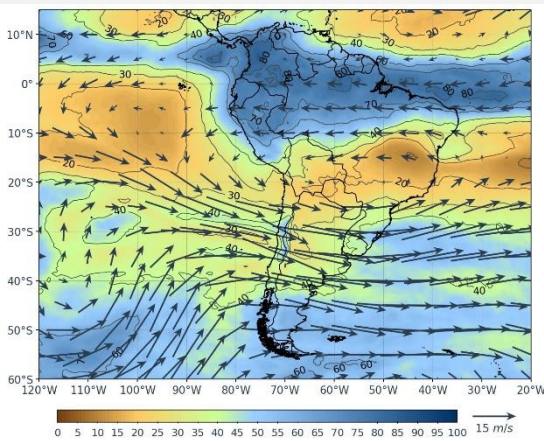
# ANÁLISIS DECADIARIO

## Tercera decadiaria

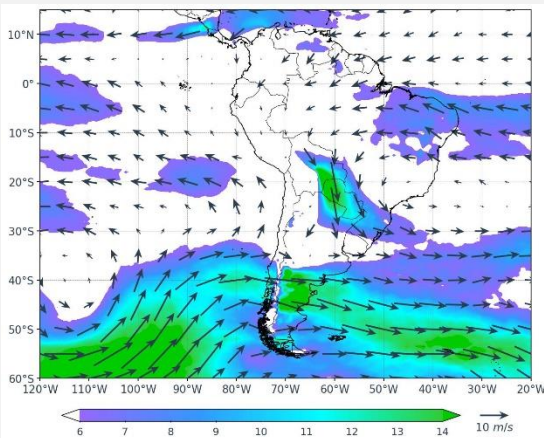
NIVELES ALTOS  
Viento (m/s) - 250 hPa



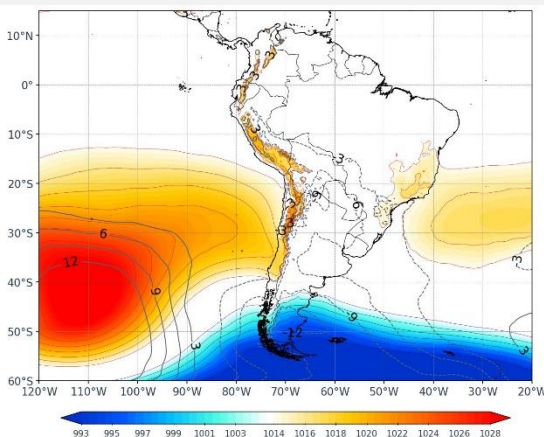
NIVELES MEDIOS  
Viento (m/s) - 500 hPa/ Humedad (%)



NIVELES BAJOS  
Viento (m/s) - 850 hPa



SUPERFICIE  
Presión reducida a nivel del mar

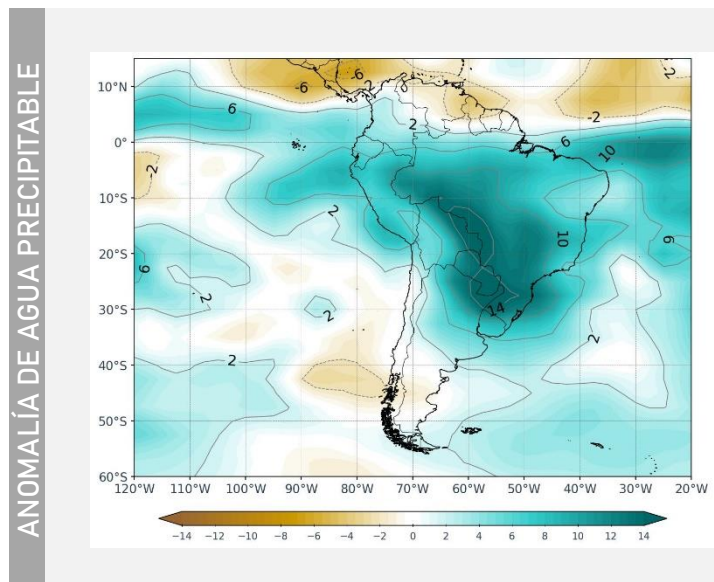
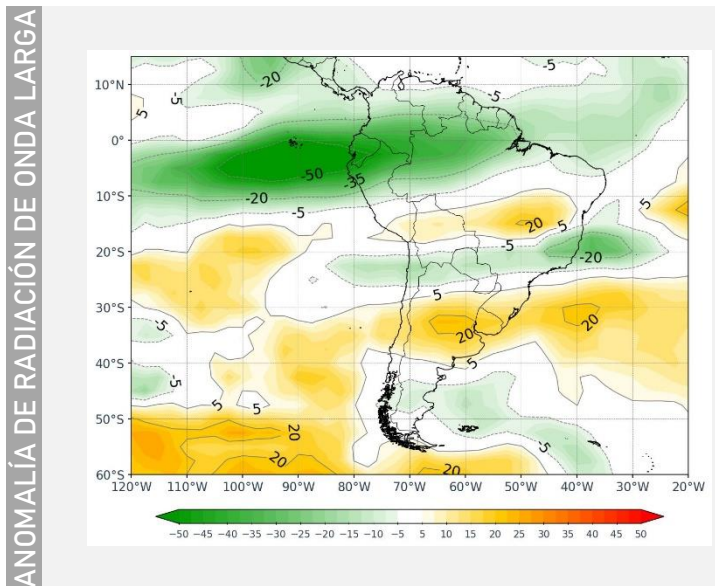


En niveles altos, predominó un flujo anticiclónico con una configuración ligeramente zonal y centro en los 15°S y 60°W, aportando inestabilidad en el sector. Asimismo, más al sur, asociada a ese sistema predominó la presencia de una onda con una vaguada bien profundizada y eje NO-SE sobre el océano Pacífico entre los 15°S y latitudes mayores a 60°S. Por otro lado, el JS se encontró acoplado al ramal norte del JP entre los 20°S y 45°S con velocidades promedio máximas superiores a 38 m/s entre 100°W y 20°W.

En niveles medios, predominó la presencia de una onda con una vaguada pronunciada sobre el Pacífico al oeste del centro-sur de Chile entre los 15°S y latitudes mayores a 60°S con eje NO-SE, asociada a una circulación anticiclónica presente sobre centro de Sudamérica. Estos sistemas favorecieron el ingreso de aire seco (entre el 10-40% de humedad) sobre gran parte de los países ubicados en centro-sur Sudamérica. Por otro lado, flujos de viento del este mantuvieron la humedad (entre el 60-80% de humedad) hacia Perú, norte de Brasil y países ubicados al norte del continente.

En superficie, el APS predominó desplazado hacia el suroeste con núcleo intenso y valores sobre los 1028 hPa sobre gran área que rodea los 40°S - 110°W, intensidad alta respecto a lo climatológico. Asimismo, el AAS predominó con núcleo desplazado hacia el oeste respecto a su posición climática y ligeramente débil con valores de presión alrededor de los 1017 hPa. En niveles bajos, predominaron flujos del este y noreste sobre el noreste de Sudamérica aportando humedad sobre países del norte de Sudamérica, por otro lado, se presentó el JBN sobre Bolivia, Paraguay y norte de Argentina con velocidad promedio máximo superior de 14 m/s, transportando condiciones de humedad e inestabilidad al sector.

# ANÁLISIS MENSUAL

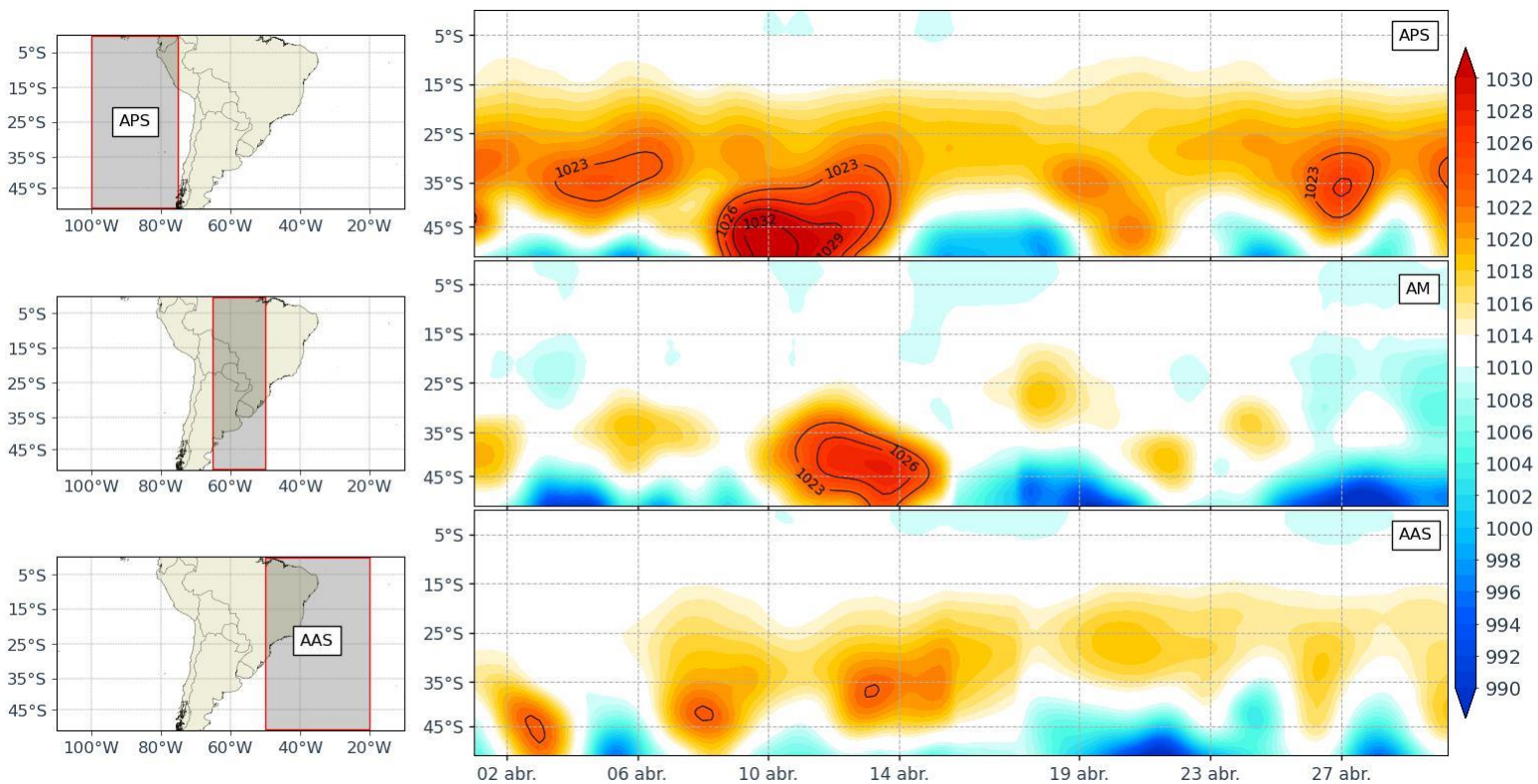


Respecto a las anomalías mensuales de radiación de onda larga, se apreciaron anomalías negativas sobre el norte del continente, zona este ecuatorial del océano Pacífico, una franja alrededor de los 23°S y una pequeña zona al sur de Argentina, asimismo, se presentaron valores anómalos negativos de mayor intensidad sobre gran parte de Sudamérica y zonas localizadas del océano Pacífico y Atlántico, esto asociado a la presencia de mayor nubosidad en respuesta al mayor contenido de humedad respecto a lo climático. Por otro lado, una franja alrededor de los 19°S, otra más extensa alrededor de los 35°S y otra alrededor de los 55°S presentaron valores muy altos de anomalía positiva de radiación, principalmente sobre Brasil, Argentina y Uruguay, relacionadas a la ausencia de nubosidad en la zona, además, estas anomalías positivas podrían ser el reflejo de una disminución en las precipitaciones respecto a lo climático.

Las anomalías mensuales de agua precipitable reflejaron anomalías positivas gran parte de Sudamérica y zonas localizadas del océano Pacífico y Atlántico, los cuales estuvieron asociados a un incremento de la misma respecto a su climatología con núcleos altos sobre el oeste de Brasil, Bolivia, Paraguay y norte de Argentina, lo que se pudo haberse reflejado con mayor nubosidad y probables precipitaciones. Por otro lado, las anomalías negativas abarcaron áreas del extremo norte del continente y sur de Argentina y Chile indicando la poca actividad convectiva y disminución de agua precipitable respecto a su climatología (relacionado a zonas más secas de lo usual).

# ANÁLISIS TEMPORAL

## Presión reducida al nivel del mar



Durante el mes de abril, el APS superó frecuentemente los 1023 hPa, especialmente en la primera y segunda decadiaria, hacia el 10 de abril predominó incluso con valores mayores a los 1032 hPa (sección APS). Por otro lado, el AAS llegó a alcanzar los 1023 hPa de forma localizada durante primera y segunda decadiaria (sección AAS). Respecto a altas migratorias (AM) durante la segunda decadiaria, del 10 al 14 de abril presento una intensificación que llegó a alcanzar valores por encima de los 1026 hPa, el cual estuvo asociado al segundo friaje del año que afectó la selva de 16 al 18 de abril.

Directora de Meteorología y Evaluación Ambiental Atmosférica  
Vannia Aliaga Nestares [valiaga@senamhi.gob.pe](mailto:valiaga@senamhi.gob.pe)

Subdirectora de Predicción Meteorológica  
Kelita Quispe Vega [kquispe@senamhi.gob.pe](mailto:kquispe@senamhi.gob.pe)

Elaboración y redacción:

- Bremilda Sutizal Sánchez  
[bsutizal@senamhi.gob.pe](mailto:bsutizal@senamhi.gob.pe)

Agradecimientos:

- Yersing Ninanya Brañes

---

Para mayor información sobre los avisos meteorológicos, visite este link :  
<http://www.senamhi.gob.pe/avisos>

---

Próxima publicación: JUNIO 2024

---



Servicio Nacional de Meteorología e  
Hidrología del Perú - SENAMHI  
Jr. Cahuide 785, Jesús María  
Lima - Perú

Central telefónica: 614-1414

Unidad Funcional de Atención al Ciudadano:  
470-2867

Pronóstico: 614-1407 o 265-8798  
(Atención las 24 horas vía WhastApp)

Consultas y sugerencias:

[pronosticador@senamhi.gob.pe](mailto:pronosticador@senamhi.gob.pe)